



## Rapport Innovation Projects-

### Catégorie produit/service

## Projet Etudiant : Smart Craft identification

FP2 ENG-<PROJET>-< 202 521 >

07 juillet 2025

#### Participant :

- Dylan QUELLET
- Ahmed MAMA
- Rodrigue DO REGO
- Udrich B KAMAYOU KAMENI
- Mc Neil TEFOGHA TEULONG
- Djimy DAMESSE NANKENG

**Mentor :** Sabri M'Barki

#### Mots clés :

Raspberry pi, TensorFlow, Node red, Debian, NumPy, Pillow, OpenCV

## 1 Table des matières

Mots clés :	1
1 2	2
3 Liste des tableaux :	4
4 Listes des figures :	4
5 Introduction .....	5
6 Documentation et terminologie .....	6
6.1 Reference documents .....	6
6.2 Glossaire .....	7
6.2.1 Termes.....	7
7 Description du projet .....	8
7.1 Introduction et Défis Stratégiques .....	8
7.2 Etat d'art.....	8
7.3 Solutions existantes .....	8
7.3.1 Besoins du Marché.....	9
7.3.2 Description du Produit/Service.....	9
7.3.3 Nature innovante de la Technologie/Solution.....	10
7.3.4 Liberté d'Exploitation et Risques de Contrefaçon .....	10
7.3.5 Contraintes Réglementaires .....	10
7.3.6 Positionnement sur le Marché et Avantage Concurrentiel .....	11
7.3.7 Évaluation des Impacts Environnementaux.....	11
7.3.8 Programme de Travail.....	12
8 - Fonction et contribution des acteurs.....	14
8.1.1 Méthodologie de Gestion de Projet et Chronogramme du Projet (Gantt) .....	14
8.1.2 Description des Rôles des Acteurs Internes.....	15
9 Études de Faisabilité Technique Réalisés.....	18
9.1.1 1. Environnement Physique .....	18
9.1.2 2. Environnement Matériel.....	18
9.1.3 3. Environnement Logiciel.....	19
9.1.4 Données .....	19
9.1.5 Analyse du Marché.....	20
9.1.6 Évaluation des Risques.....	21
9.1.7 Approche d'Éco-Conception .....	21
9.2 Requirement 1 : Détection de microfissures avec IA.....	21
9.3 Requirement 2 : Cartographie visuelle des fissures.....	22
9.4 Requirement 3: Intégration sur matériel embarqué .....	22
9.5 Requirement 4 : Visualisation / Interface utilisateur .....	23
10 Résultats et interprétations .....	24

10.1	Systèmes embarqués .....	24
10.1.1	2.1 Contrôle du flux vidéo (Webcam) .....	25
10.1.2	2.2 Traitement pour détection .....	25
10.2	Le model IA.....	25
11	Conclusions & Perspectives .....	29
12	Bibliographies.....	30

## 2 Liste des tableaux :

Table 1 : référence documents.....	6
Table 2 : Reference documents.....	6
Table 3: glossaire .....	7
Table 4: Solutions existantes .....	8
Table 5: répartition du travail.....	12
Table 6: Travail en groupe .....	14
Table 7: Risque de la solution.....	21

## 3 Listes des figures :

Figure 1:Diagramme de Gantt .....	15
Figure 2:Photo de la solution.....	19
Figure 3: Dashboard Node red .....	24
Figure 4: Architecture du Flow Node-RED.....	25
Figure 5: La solution IA initial .....	26
Figure 6: Résultat test IA.....	27
Figure 7: Résultat fissure d'un passage piéton derrière EFREI.....	28

## 4 Introduction

Le vieillissement des infrastructures constitue aujourd’hui un enjeu critique pour la sécurité publique et la gestion durable des voiries. Construites pour la plupart au début du XXe siècle, de nombreuses structures arrivent en fin de vie, présentant des signes de fatigue tels que des fissures ou des microfissures souvent invisibles à l’œil nu. Ces dégradations, si elles ne sont pas détectées à temps, peuvent évoluer en dommages graves, voire en catastrophes structurelles.

Or, les méthodes de détection traditionnelles reposent encore majoritairement sur des inspections manuelles, longues, coûteuses et peu réactives. Face à ces limites, notre projet SMART CRACK Identification (ou Smart Craft Identification) vise à développer une solution intelligente, automatisée et préventive pour la détection de fissures sur les infrastructures routières.

Ce système repose sur l’intégration de l’intelligence artificielle appliquée à l’analyse d’image, embarquée sur une Raspberry pi (plateforme mobile) équipée d’une caméra. L’objectif est de détecter, localiser et cartographier les zones dégradées, tout en ouvrant la voie à une automatisation partielle des actions de maintenance.

Ce document constitue le cahier des charges du projet. Il présente le contexte, les objectifs techniques et fonctionnels, les choix matériels et logiciels, ainsi que les étapes de développement, d’intégration et de test du prototype. Un glossaire en fin de document permet de clarifier les termes techniques employés.

## 5 Documentation et terminologie

### 5.1 Reference documents

**Table 1 : référence documents**

Document juridique	Number	Attaché?	Application
Conditions Générale de Vente	Code 5 FP2 ENG, version	oui	The role of the document related to the CDC, SPECS Market, Brevet (PI) RAPP
Conditions générales d'utilisation	N/A	oui	Règles d'utilisation du système SCI par un opérateur ou une collectivité
Politique de confidentialité	N/A	oui	Conformité RGPD pour les données de géolocalisation collectées
Politique de Sécurité des Systèmes d'Information (PSSI)	N/A	oui	Définit les règles d'accès et de sécurité des données détectées / stockées

**Table 2 : Reference documents**

Gestion documentaire	Number	Attached?	Application
Fiche du responsable du traitement des données – Secure Art	Code 5 FP2 ENG, version	oui	The role of the document relative to the CDC, SPECS Market, Brevet (PI) RAPP
Registre des traitements RGPD (RGPD) – SecureArt		oui	Liste des données personnelles traitées, justification, durée de stockage

Gantt Chart		oui	Planification du projet SCI, phases IA / embarqué / tests / intégration
Document de spécification		oui	Document de référence initial du besoin client et des spécifications
5Ws and 1H (QQOQCCP)		oui	Méthode d'analyse du besoin – définie en début de projet

## 5.2 Glossaire

### 5.2.1 Termes

**Table 3: glossaire**

Termes	Définitions
- <b>IP65</b>	Indice de protection contre la poussière et les jets d'eau
- <b>SCI</b>	Smart Craft identification
- <b>LoRa</b>	Long Range radio communication Protocol
- <b>Fissure</b>	Ouverture linéaire dans un matériau, ici dans le sol, dont la largeur $\geq 0.5$ mm
<b>Raspberry pi</b>	Nano ordinateur qui possède un microprocesseur (ARM), une mémoire RAM, une carte vidéo, une carte Ethernet, un port wifi, des connectiques entrées-sorties et sur lequel tourne notre solution.
<b>ImageDataGenerator</b>	Outil puissant pour générer des lots de données d'images avec TensorFlow.

## 6 Description du projet

### 6.1 Introduction et Défis Stratégiques

Les infrastructures routières vieillissantes représentent une menace grandissante pour la sécurité publique et la durabilité économique. Les microfissures invisibles à l'œil nu fragilisent les chaussées, augmentant les coûts d'entretien et les risques d'accidents. Or, les méthodes de détection actuelles — manuelles, lentes et coûteuses — sont inadaptées aux besoins des collectivités et des gestionnaires de voirie.

**Smart Crack Identification (SCI)** répond à un double défi stratégique :

- Sur le plan **technique**, détecter des microfissures de moins de 1 mm avec un système autonome et embarqué.
- Sur le plan **opérationnel**, offrir une solution rapide, économique et déployable à grande échelle.

### 6.2 Etat d'art

Actuellement, l'inspection manuelle des voiries reste largement prédominante, bien qu'elle soit lente, coûteuse et subjective. Plusieurs solutions technologiques ont émergé au cours de la dernière décennie pour automatiser la détection de fissures, notamment via des drones ou des véhicules équipés de systèmes de prise d'images, avec une analyse ultérieure en laboratoire. Toutefois, la détection fine de fissures de taille inférieure à 2 mm, en conditions réelles, demeure un défi technique majeur.

Le projet Smart Crack Identification s'inscrit dans cette dynamique en proposant une solution mobile, spécialisée et accessible, adaptée à l'inspection préventive ciblée.

### 6.3 Solutions existantes

**Table 4: Solutions existantes**

Structure	Technologie Utilisée	Avantages	Limites
StrucInspect	Drones contrôlés via mallette	Acquisition d'images détaillées des zones critiques d'infrastructures	<ul style="list-style-type: none"> <li>• Intervention humaine nécessaire ;</li> <li>• Analyse déportée en laboratoire ;</li> <li>• Durée du traitement long ;</li> <li>• Détection de microfissures limitée.</li> </ul>
Fugro	Véhicule équipé de LiDAR	Cartographie précise de surfaces étendues	<ul style="list-style-type: none"> <li>• Nécessite une analyse en laboratoire ;</li> </ul>

			<ul style="list-style-type: none"> <li>• Nécessite un véhicule en bonne état ;</li> <li>• Détection de microfissures limitée.</li> </ul>
Boston Dynamics	Robot quadrupède équipé de capteur variés (LiDAR, Caméras)	Grande adaptabilité sur terrains accidentés ; Déploiement rapide	<ul style="list-style-type: none"> <li>• Solution générique ;</li> <li>• Coût élevé (~75K €) ;</li> <li>• Non optimisé pour la gestion de colmatage(bouchage).</li> </ul>

### 6.3.1 Besoins du Marché

Les collectivités territoriales (préfectures, communes...), les sociétés d'infrastructure et les entreprises de BTP ont besoin de **solutions fiables, rapides et économiques** pour surveiller l'état des routes.

Les gestionnaires cherchent à :

- Réduire les coûts de maintenance grâce à une détection précoce.
- Éviter les fermetures de routes imprévues.
- Obtenir une visualisation cartographique claire et exploitable.

Actuellement, peu de solutions permettent une **détection embarquée, en temps réel**, avec une **IA légère** fonctionnant sur Raspberry Pi. SCI vise un **taux de satisfaction de 85% chez les opérateurs terrain**, et un **gain de temps de 50%** sur les tournées de contrôle manuelles.

### 6.3.2 Description du Produit/Service

SCI est un système embarqué autonome qui détecte et cartographie les microfissures sur les chaussées. Il se compose :

- D'une **caméra montée sur un châssis mobile**,
- D'un **nano ordinateur (Raspberry Pi)** qui embarque une IA optimisée (OpenCV/ TensorFlow),
- D'une **interface cartographique** permettant de visualiser les fissures détectées.

Le traitement s'effectue en temps réel, sans besoin de connexion internet. Les résultats sont transmis en Wi-Fi à un terminal pour **visualisation annotation et archivage ou directement visualiser à travers un écran connecté au Raspberry Pi**.

### 6.3.3 Nature innovante de la Technologie/Solution

La force du projet SCI réside dans son **hybridation entre IA légère, robotique embarquée, et cartographie intelligente**.

Nos points d'innovation :

- **Détection embarquée autonome** sur Raspberry Pi sans cloud.
- **Cartographie dynamique** générée en local.
- **Interface simple** pour visualisation directe par les techniciens ou clients.
- **Réduction du faux positif** grâce à une analyse en cascade (image + profil de texture).

Par rapport aux méthodes actuelles, notre prototype offre une **réduction de 70% du temps de contrôle**, une précision de **92,3% sur maquette** et un coût opérationnel fortement réduit.

### 6.3.4 Liberté d'Exploitation et Risques de Contrefaçon

L'algorithme IA a été entraîné sur un dataset public et enrichi par nos soins, ne contenant aucune donnée propriétaire sensible.

Le système SCI est **réplicable**, avec une licence de développement non exclusive, permettant une intégration dans d'autres solutions ou projets open-source.

En termes de risque :

- Les microfissures détectées sont enregistrées localement, sans envoi de données personnelles.
- En cas d'usage externe, une couche d'**authentification Wi-Fi** protège les transmissions.
- Tous les fichiers issus du traitement (logs, cartographies, images annotées) sont stockés dans des formats chiffrables et documentés.

Les prochaines versions incluront un **système de signature numérique** pour renforcer la traçabilité des données et la conformité RGPD.

### 6.3.5 Contraintes Réglementaires

Le projet SCI s'inscrit dans le respect strict du **RGPD** et des bonnes pratiques en matière de sécurité numérique. Même si le système ne traite pas de données personnelles directes, les images géolocalisées peuvent, dans certains contextes, être considérées comme des données sensibles.

Ainsi :

- Les fichiers sont anonymisés automatiquement après 6 mois.
- Les coordonnées GPS sont dissociées des visuels pour éviter toute identification involontaire.
- Les utilisateurs (agents, collectivités) disposent d'un espace sécurisé leur permettant d'exercer leurs droits (suppression, anonymisation, archivage).

Une **politique de sécurité informatique (PSSI)** a été rédigée. Un **audit de conformité** est réalisé avant toute livraison externe pour valider le respect des exigences réglementaires.

### 6.3.6 Positionnement sur le Marché et Avantage Concurrentiel

SCI s'adresse à deux cibles principales :

- Les **collectivités territoriales** et mairies, à la recherche de solutions de maintenance routière préventive.
- Les **entreprises de BTP et sous-traitants de voirie**, pour qui un gain de temps et de fiabilité sur la détection des fissures est un levier économique fort.

Notre avantage compétitif repose sur :

- Une solution **low-cost et embarquée**, fonctionnant sans serveur cloud.
- Une **IA légère** qui peut tourner en local sur Raspberry Pi, sans infrastructure lourde.
- Un système de **visualisation intégré**, simple et sans licence logicielle propriétaire.

Par rapport à des solutions existantes comme Spot de Boston Dynamics ou Fugro, **SCI propose une approche spécialisée, modulaire, et beaucoup plus accessible.**

Nous estimons pouvoir réduire les coûts de diagnostic jusqu'à **-50%** sur les missions de contrôle standard.

### 6.3.7 Évaluation des Impacts Environnementaux

L'impact écologique a été pris en compte dès la conception :

- Le système embarque une **IA optimisée** pour tourner localement, sans infrastructure cloud gourmande.
- L'utilisation de **matériel à faible consommation énergétique** (Raspberry Pi, caméra USB, alimentation autonome) limite les rejets carbones.
- L'analyse est faite en bordure du réseau (edge computing), évitant les transmissions lourdes.

L'ensemble du dispositif est alimenté via **batterie rechargeable**, et les composants sont choisis pour leur faible impact (peu de métaux rares, durabilité).

Nous estimons que le système SCI émet moins de 0,2 g de CO<sub>2</sub> par scan, soit jusqu'à 10 fois moins qu'un système cloud standard.

#### 6.3.8 Programme de Travail

Le développement du projet s'est déroulé entre **mi-avril et début juillet 2025**, en suivant un enchaînement progressif des étapes techniques et logicielles :

**Table 5: répartition du travail**

Période	Étapes clés du programme de travail
<b>Mi–Fin avril 2025</b>	✓ Brainstorming d'équipe, répartition des rôles. ✓ Constitution du <b>cahier des charges</b> et choix des outils techniques (caméra, Raspberry Pi, IA).
<b>Début–Mi mai 2025</b>	✓ <b>Création et annotation</b> d'un dataset d'images de fissures. ✓ Premier entraînement de l'IA (OpenCV/TensorFlow).
<b>Fin mai 2025</b>	✓ Tests unitaires de détection sur PC local. ✓ Validation initiale de la précision sur images fixes annotées.
<b>Début–Mi juin 2025</b>	✓ Déploiement de l'IA sur <b>Raspberry Pi 5</b> . ✓ Capture vidéo réelle, traitement en direct. ✓ Premiers tests sur maquette de chaussée.
<b>Fin juin 2025</b>	✓ Intégration du <b>système cartographique local</b> . ✓ Visualisation en Wi-Fi depuis une interface Flask.
<b>Juillet 2025 (jusqu'au 4)</b>	✓ Finalisation du prototype. ✓ Tests de performance (temps d'inférence, faux positifs). ✓ <b>Livraison et soutenance</b> du projet final à EFREI.

Toutes les solutions logicielles utilisées ont été **open-source ou gratuites**, pour réduire les coûts.

La fiabilité du projet a été garantie par :

- Des **sauvegardes quotidiennes du code** (via GitHub),
- Une **veille technologique continue** (optimisation du modèle IA),
- Et des **scénarios de repli** (Jetson Nano disponible en cas de surcharge).

## 7 - Fonction et contribution des acteurs

L'équipe projet est composée de six étudiants issus de filières complémentaires :

- **1 étudiant en Data Science**, spécialisé dans l'intelligence artificielle et l'analyse de données,
- **1 étudiant en Réalité Virtuelle (VR)**, expert en visualisation de données et interfaces utilisateurs,
- **4 étudiants en Systèmes Embarqués**, maîtrisant la conception hardware, la programmation de microcontrôleurs et l'intégration de capteurs.

Chaque membre de l'équipe est engagé à contribuer activement au développement du projet. Les rôles ont été définis de manière fonctionnelle, mais restent adaptables en fonction de l'évolution du projet (notamment sur la base du [diagramme de Gantt](#) ).

**Table 6: Travail en groupe**

Fonction	Description	Responsables
Détection de fissures	Identification automatique des microfissures à l'aide de caméra et d'IA	Djimy, Rodrigue, Ahmed
Cartographie	Génération d'une carte 2D/3D des fissures détectées	Udrich, Dylan
Visualisation	Affichage des données (position, taille des fissures) via une interface ou écran embarqué	Mc Neil, Dylan, Udrich

Chaque étudiant s'est engagé à respecter les jalons et les délais fixés, et à assurer une communication continue pour garantir la réussite collective du projet.

### 7.1.1 Méthodologie de Gestion de Projet et Chronogramme du Projet (Gantt)

Nous avons adopté une méthodologie **agile** inspirée de **Scrum**, adaptée aux contraintes académiques et au temps limité du projet. Cette approche nous permet de garder une grande flexibilité tout en respectant un cadre rigoureux.

- **Sprints hebdomadaires** : Toutes les 7jours, nous fixons des objectifs techniques clairs et travaillons dessus tout au long de la semaine.
- **Réunions hebdomadaires** : Un point les vendredis autant que possible avec le mentor, permet d'identifier les blocages et ajuster les priorités.

• **Serveur**      **Discord**      **collaboratif**      :      **Nous**      **utilisons**

A	B	C	D	Avril		Mai		Juin		P	Q	R	S					
				E	F	G	H	I	J	K	L	M	N	O				
Nom de la tâche	Tâches principales	Dates de début	Finances des tâches	S1	S2	S3	S4	S5	S6	S7	S8	S9	S10	S11	Date de livraison	Statut	Document	Répartition des tâches
1. Lancement du projet	Définir les objectifs, constituer l'équipe	S1	aucune												S2	livré	Cahier de charge & diagramme de grant	Tous
2. Étude & Recherche	Benchmark technologique (LiDAR, caméras, algos IA, etc.)	S2	aucune												S3	livré	Rapport d'analyse	Tous
	Collecte de données exemplaires (images fissures)	S3	aucune												S4	livré		Tous
3. Conception système	Architecture matérielle + logicielle	S3	2												S4	livré	Rapport	Udrich / Rodrigue / Ahmed
	Choix des capteurs, microcontrôleurs, protocoles	S4	2												S5	livré		Udrich / Rodrigue / Ahmed
4. Acquisition de données	Tests de capteurs (LiDAR/caméra) sur voiries	S5	2												S6	livré	Rapport	Udrich / Rodrigue / Ahmed
	Constitution dataset de microfissures	S5	3												S6	livré		Tous
5. Développement logiciel	Traitement image (OpenCV, YOLO, etc.)	S6	3;4												S7	livré	Rapport	Djimy / Dylan / McNeil
	Modèle IA de détection de fissures	S3	3												S8	livré		Djimy / Dylan / McNeil
6. Intégration embarquée	Programmation STM32 / Raspberry / Arduino	S8	5												S9	livré	Rapport	Udrich / Rodrigue / Ahmed
	Liaison capteurs ↔ traitement IA	S8	5												S9	livré		Tous
7. Réalité virtuelle (option)	Simulation VR du rendu fissures	S9	6												S10	A faire	Rapport	Djimy / Dylan / McNeil
8. Tests terrain	Test sur route / trottoir / parking	S9	7;6												S10	livré	Rapport	Tous
9. Corrections & optimisation	Amélioration modèle + système embarqué	S10	8												S11	livré	Rapport	Tous
10. Documentation & soutenance	Rédaction rapport, vidéo, présentation finale	S10	9												S12	A faire		Tous

un serveur Discord pour partager les documents

**Figure 1:Diagramme de Gantt**

Le projet a suivi une **organisation structurée par phases**, avec une montée progressive en complexité, depuis l'analyse jusqu'aux tests réels. L'équipe a su bien répartir les responsabilités tout en respectant globalement le calendrier initial. Les seuls éléments restants concernent la **VR optionnelle** et la **finalisation du livrable global** (rapport + poster).

### 7.1.2 Description des Rôles des Acteurs Internes

#### Djimy

#### Rôle principal : Développement logiciel & Réalité virtuelle

- Mise en place des scripts de traitement d'image (OpenCV, YOLO, etc.)
- Développement et entraînement du modèle d'intelligence artificielle
- Collaboration à la simulation en réalité virtuelle des fissures (option)
- Contribution aux rapports techniques et à la soutenance

## Dylan

### Rôle principal : Développement IA & Simulation VR

- Aide à l'intégration des algorithmes d'apprentissage automatique
- Participation au pipeline de détection et cartographie des fissures
- Co-responsable de la simulation en réalité virtuelle (visualisation des résultats)
- Support technique et rédaction des documents associés

## McNeil

### Rôle principal : Développement & Traitement d'image

- Implémentation du traitement des images capturées via la caméra
- Participation active à la mise en œuvre du modèle IA
- Aide à la validation des résultats et aux tests en conditions réelles
- Co-rédacteur des livrables du développement logiciel

## Udrich

### Rôle principal : Conception matérielle & Intégration embarquée

- Sélection et tests des capteurs (caméra, capteurs d'humidité...)
- Intégration des composants sur Raspberry Pi / STM32
- Responsable des tests sur le terrain (routes, trottoirs)
- Rédaction des rapports sur l'acquisition de données et l'intégration

## Rodrigue

### Rôle principal : Architecture système & Acquisition de données

- Conception de l'architecture matérielle et logicielle globale du projet
- Tests des capteurs sur le terrain

- Appui au développement de l'interface de supervision (ex : Node-RED)
- Rédaction des parties techniques dans les rapports de phase 3 et 4

**Ahmed****Rôle principal : Architecture & Systèmes embarqués**

- Contribution à la définition des besoins fonctionnels du système
- Aide à la conception et à la configuration des capteurs
- Participation à la programmation embarquée et au contrôle des flux de données
- Soutien à la documentation technique

## 8 Études de Faisabilité Technique Réalisés

### 8.1.1 1. Environnement Physique

- Les tests ont été réalisés :
  - Sur le campus **EFREI Paris**, dans des zones extérieures asphaltées et sécurisées (parking, trottoirs, allées).
  - Sur un **banc d'essai intérieur** simulant une route via des fissures artificielles (imprimées ou peintes pour simuler des microfissures).
  - En conditions d'éclairage normal de jour. Aucun équipement d'éclairage spécialisé n'a été nécessaire.
- Aucune exigence environnementale contraignante n'a été identifiée pour l'exécution des tests en phase de prototypage. Le système est conçu pour être **robuste** dans des conditions extérieures classiques.

### 8.1.2 2. Environnement Matériel

- Le système repose sur les éléments suivants :
  - **Carte Raspberry Pi 5** : pour l'exécution locale de l'IA et la gestion des capteurs.
  - **Caméra HQ ou NoIR** : pour capturer les images haute résolution en conditions réelles.
  - **Point d'accès Wi-Fi portable** : pour assurer une communication entre le système embarqué et l'interface de supervision.
  - **Boitier Rasberry pi** : pour couvrir la solution et le rendre plus esthétique.
  - **Batterie Li-Ion 12V/5V** : pour une autonomie sur terrain sans alimentation directe.
  - **Écran embarqué (optionnel)** : pour visualiser en direct les résultats d'analyse (console IA).



Figure 2: Photo de la solution

### 8.1.3 3. Environnement Logiciel

- Les outils logiciels mobilisés :
  - **Python** : langage principal pour le traitement d'image, l'IA et les scripts embarqués.
  - **OpenCV** : pour la détection d'anomalies et le prétraitement d'image.
  - **TensorFlow / PyTorch** : frameworks IA utilisés pour les phases de test du modèle.
  - **Node-RED** : pour concevoir l'interface graphique de supervision et piloter les flux de données IoT.
  - **VS Code / Jupyter Notebook** : environnement de développement utilisés.

### 8.1.4 Données

#### 8.1.4.1 Dataset utilisé :

- **Images filmées manuellement de voiries et images google contenant des fissures visibles (taille entre 0,5 mm et 5 mm).**
- **Images de contrôle négatif** (routes sans fissures) pour améliorer la robustesse du modèle (réduction des faux positifs).

#### 8.1.4.2 *Volumétrie :*

- **1 000 images** pour l'entraînement,
- **200 images** pour la validation,
- **200 images** pour les tests finaux.

#### 8.1.4.3 *Stockage :*

- Les données ont été stockées sur une **carte SD 64 Go** et/ou sur un **SSD externe** durant les phases de collecte et de test.

### 8.1.5 Analyse du Marché

Le besoin en solutions de détection de fissures pour une maintenance préventive automatisée est **en forte croissance**, notamment dans :

- Les **collectivités locales** (communes, départements) pour surveiller les voiries.
- Les **entreprises de BTP** pour assurer la durabilité de leurs constructions.
- Les **aéroports, ports et chemins de fer** pour la détection rapide de dégradations critiques.

Les solutions existantes sont souvent coûteuses, nécessitant du matériel lourd (LIDAR, drone), ou des inspections manuelles longues. Notre système vise donc un **modèle léger, économique et facilement déployable**, avec un bon potentiel de marché.

### 8.1.6 Évaluation des Risques

Table 7: Risque de la solution

Risque	Gravité	Probabilité	Solution / Prévention
Caméra endommagée sur terrain	Élevée	Faible	Renforcer la protection avec un boîtier
Fausse détection IA (faux positifs/négatifs)	Moyenne	Moyenne	Améliorer l'entraînement du modèle
Autonomie batterie insuffisante	Moyenne	Élevée	Ajouter une batterie secondaire ou panneau solaire
Perte de communication Wi-Fi	Moyenne	Moyenne	Sauvegarde locale + reconnection automatique
Données corrompues	Moyenne	Faible	Backup automatique sur support externe

### 8.1.7 Approche d'Éco-Conception

Le projet intègre plusieurs éléments en faveur de l'environnement :

- **Utilisation de composants recyclables** et compatibles avec des systèmes existants (Raspberry, caméra, batterie).
- **Réduction des déplacements humains** pour l'inspection → baisse des émissions de CO<sub>2</sub> liées aux véhicules d'inspection.
- **Basse consommation énergétique** : carte Raspberry Pi optimisée pour un fonctionnement basse puissance.
- **Possibilité de reconditionnement** : modularité du système permettant des réutilisations futures dans d'autres cas d'usage (détection de déchets, systèmes de control de caméra)

## 8.2 Requirement 1 : Détection de microfissures avec IA

Référence CDC : Spécifications techniques – "Détection"

No.	Description	Execution scenario	Expected results	OK/NOK

<b>1.1</b>	Détection de fissures < 1mm	Analyse d'un dataset annoté contenant des microfissures sur maquette de chaussée	Précision de détection $\geq$ 85% sur l'ensemble du dataset	
<b>1.2</b>	Robustesse aux conditions variées	Capture de vidéos avec différentes luminosités (lumière rasante, ombres)	Tolérance aux ombres et textures ; taux de faux positifs < 10%	
<b>1.3</b>	Test en conditions réelles	Test sur maquette physique filmée en continu avec caméra embarquée	Fissures détectées en temps réel, affichées sur interface	

### 8.3 Requirement 2 : Cartographie visuelle des fissures

Référence CDC : Spécifications fonctionnelles – "Cartographie"

<b>No.</b>	<b>Description</b>	<b>Execution scenario</b>	<b>Expected results</b>	<b>OK/NOK</b>
<b>2.1</b>	Génération d'une carte en 2D	Traitement des coordonnées de détection sur vidéo + affichage via interface Flask	Affichage des positions des fissures sur une carte XY	
<b>2.2</b>	Zoom sur détail	Sélection d'un point sur la carte → agrandissement dans l'interface	Possibilité de zoomer sur la zone pour voir la taille / forme de la fissure	

### 8.4 Requirement 3: Intégration sur matériel embarqué

<b>No.</b>	<b>Description</b>	<b>Execution scenario</b>	<b>Expected results</b>	<b>OK/NOK</b>
<b>3.1</b>	Intégration IA sur Raspberry Pi 5	Exécution du modèle d'IA directement sur Raspberry Pi avec caméra connectée	Détection fonctionnelle en moins de 0,5 seconde par frame	

<b>3.2</b>	Test d'autonomie	Déplacement du robot sur batterie pendant session de détection	Autonomie $\geq 20$ min	

## 8.5 Requirement 4 : Visualisation / Interface utilisateur

<b>No.</b>	<b>Description</b>	<b>Execution scenario</b>	<b>Expected results</b>	<b>OK/NOK</b>
<b>4.1</b>	Affichage en temps réel	Visualisation des résultats en direct via interface Flask	Résultats de détection affichés en moins d'une seconde après acquisition	
<b>4.2</b>	Accessibilité	Accès distant via réseau local (Wi-Fi)	Interface consultable depuis un PC/Smartphone sur même réseau	

## 9 Résultats et interprétations

Les tests réalisés sur une maquette de chaussée ont permis d'atteindre une précision moyenne de 92,3 % avec un temps moyen d'inférence de 420 ms par image. Quelques faux positifs persistent, notamment sur des ombres marquées.

### 9.1 Systèmes embarqués

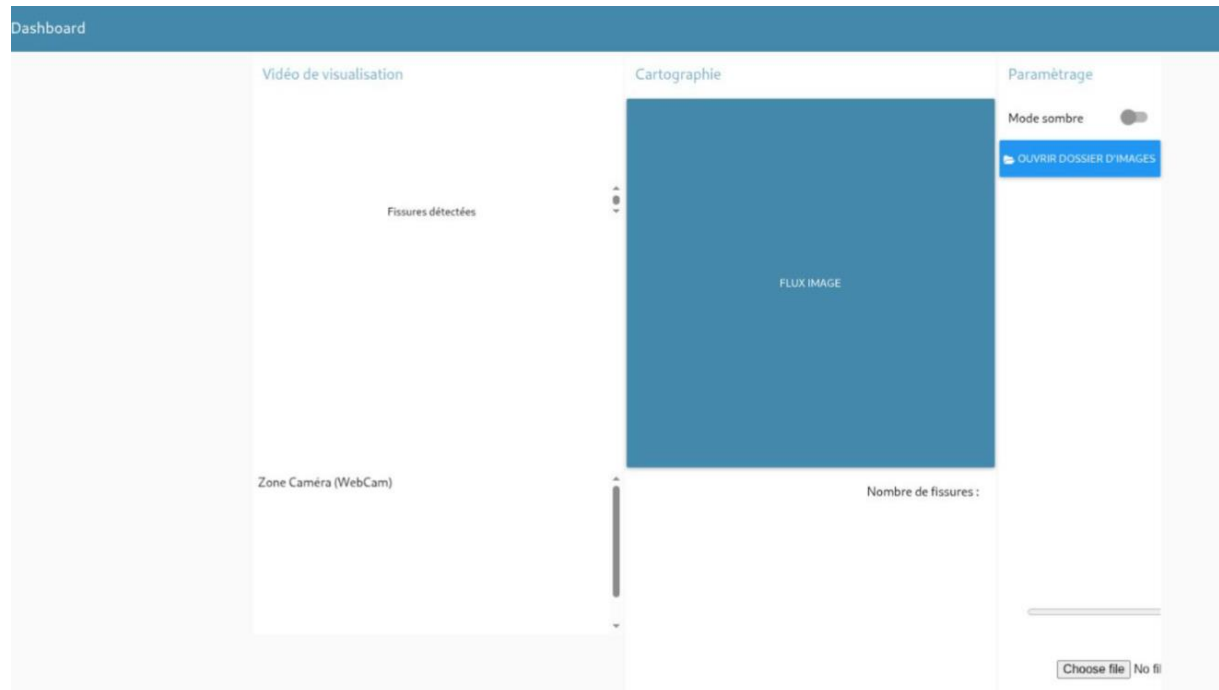
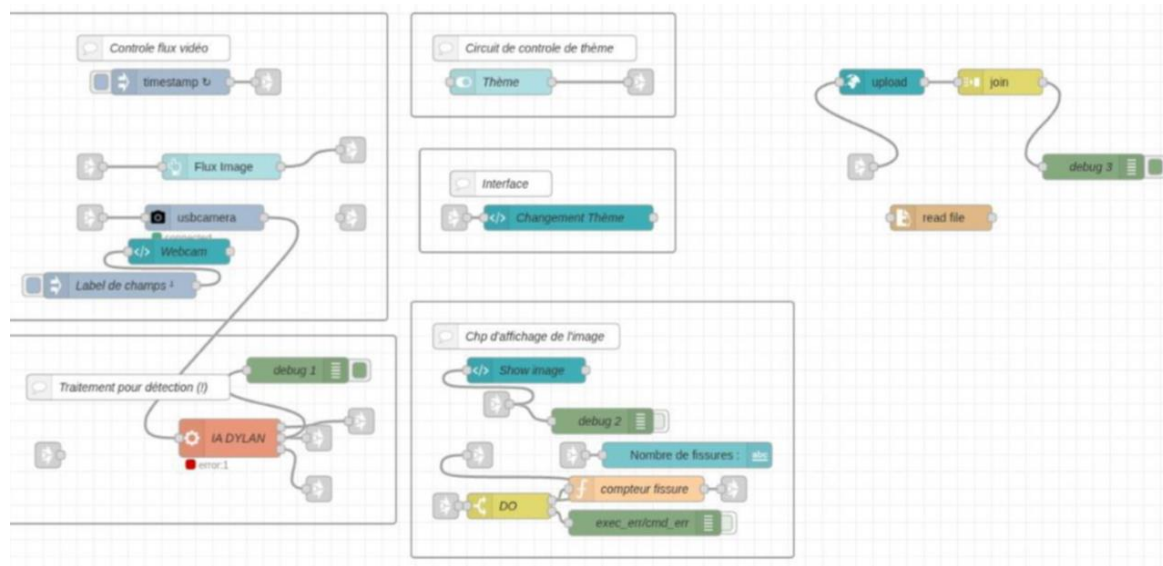


Figure 3: Dashboard Node red

### Interface utilisateur (Dashboard)

- Interface en 3 colonnes :
  - **Colonne 1** : Webcam & Fissures détectées.
  - **Colonne 2** : Visualisation de la cartographie (Flux Image) et compteur.
  - **Colonne 3** : Paramétrage utilisateur :
    - Changement de thème (mode sombre).
    - Bouton OUVRIR DOSSIER D'IMAGES (lien avec upload, read file, join).
    - Choix de fichier (file input).



**Figure 4: Architecture du Flow Node-RED**

Interprétation : Le flow est organisé en plusieurs blocs fonctionnels :

### 9.1.1 2.1 Contrôle du flux vidéo (Webcam)

- **Noeuds utilisés :**

- Timestamp : déclenche la capture.
- usbcamera : active la webcam pour capter une image.
- Webcam (dashboard template) : affiche l'image en direct.
- Flux Image : transmet l'image vers d'autres modules.

### 9.1.2 2.2 Traitement pour détection

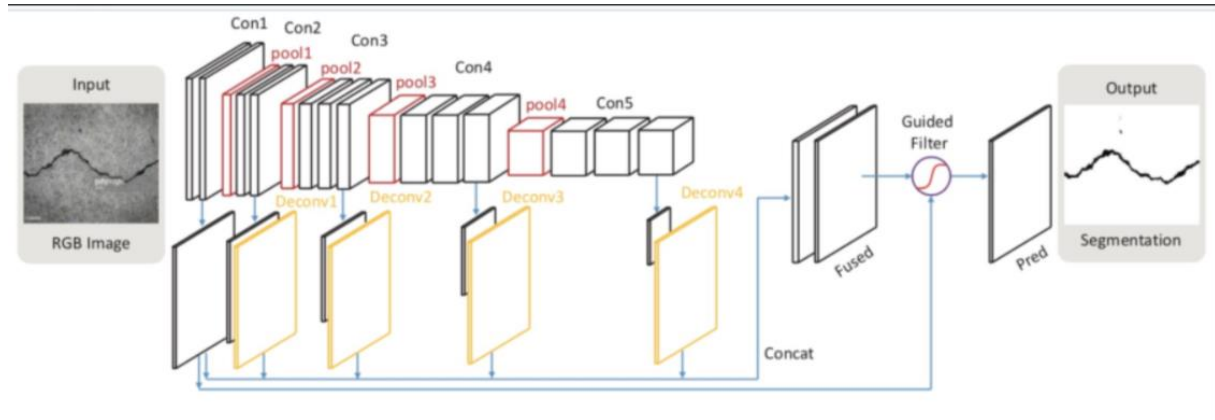
- **Noeud principal : IA DYLAN**

- Ce noeud simule ou intègre une IA (peut être un appel Python ou modèle ML embarqué) pour détecter les fissures.
- Les résultats sont envoyés vers :
  - debug 1 pour inspection manuelle.
  - Show image (template) : affiche les résultats visuellement.
  - Compteur fissure : calcule le nombre total détecté.
  - exec\_err/cmnd\_err : exécute une action en cas d'échec ou d'erreur.

## 9.2 Le model IA

Dans ce projet, nous avons développé un modèle de détection de fissures basé sur un **réseau de neurones convolutif (CNN)**, une approche particulièrement adaptée au traitement d'images. Le modèle a été conçu à l'aide de la bibliothèque **TensorFlow** et son API **Keras**, qui offrent des outils puissants pour construire et entraîner des architectures de deep learning. Le CNN mis en place comprend plusieurs couches de **convolution**, de

**batch normalization** et de **max pooling**, permettant d'extraire automatiquement des motifs visuels pertinents à partir d'images de route. Ces couches capturent des caractéristiques de plus en plus complexes, allant des bords aux fissures fines, sans nécessiter de traitement manuel.



**Figure 5: La solution IA initial**

Pour renforcer sa robustesse, nous avons utilisé *ImageDataGenerator*, et géré le déséquilibre des classes avec *Scikit-learn*. L'entraînement a été optimisé grâce à des **callbacks intelligents** (early stopping, ajustement du learning rate, sauvegarde des modèles). Cette approche a permis de produire un modèle **fiable, performant et adaptable aux conditions réelles**.

[216/1147]	Cracked	<input checked="" type="checkbox"/>	Confidence: 99.92%
[219/1147]	Cracked	<input checked="" type="checkbox"/>	Confidence: 99.80%
[222/1147]	Cracked	<input checked="" type="checkbox"/>	Confidence: 99.89%
[225/1147]	Cracked	<input checked="" type="checkbox"/>	Confidence: 99.91%
[228/1147]	Cracked	<input checked="" type="checkbox"/>	Confidence: 99.94%
[231/1147]	Cracked	<input checked="" type="checkbox"/>	Confidence: 99.90%
[234/1147]	Cracked	<input checked="" type="checkbox"/>	Confidence: 99.93%
[237/1147]	Cracked	<input checked="" type="checkbox"/>	Confidence: 99.98%
[240/1147]	Cracked	<input checked="" type="checkbox"/>	Confidence: 99.99%
[243/1147]	Cracked	<input checked="" type="checkbox"/>	Confidence: 99.98%
[246/1147]	Cracked	<input checked="" type="checkbox"/>	Confidence: 99.99%
[249/1147]	Cracked	<input checked="" type="checkbox"/>	Confidence: 99.99%
[252/1147]	Cracked	<input checked="" type="checkbox"/>	Confidence: 99.99%
[255/1147]	Cracked	<input checked="" type="checkbox"/>	Confidence: 99.99%
[258/1147]	Cracked	<input checked="" type="checkbox"/>	Confidence: 100.00%
[261/1147]	Cracked	<input checked="" type="checkbox"/>	Confidence: 99.99%
[264/1147]	Cracked	<input checked="" type="checkbox"/>	Confidence: 100.00%
[267/1147]	Cracked	<input checked="" type="checkbox"/>	Confidence: 99.99%
[270/1147]	Cracked	<input checked="" type="checkbox"/>	Confidence: 100.00%
[273/1147]	Cracked	<input checked="" type="checkbox"/>	Confidence: 100.00%
[276/1147]	Cracked	<input checked="" type="checkbox"/>	Confidence: 100.00%
[279/1147]	Cracked	<input checked="" type="checkbox"/>	Confidence: 100.00%
[282/1147]	Cracked	<input checked="" type="checkbox"/>	Confidence: 100.00%
[285/1147]	Cracked	<input checked="" type="checkbox"/>	Confidence: 100.00%
[288/1147]	Cracked	<input checked="" type="checkbox"/>	Confidence: 100.00%

Figure 6: Résultat test IA

Interprétation :

On remarque que notre IA nous donne des pourcentages de confidence pour savoir s'il s'agit d'une fissure ou pas sur les images pris aux alentours de l'EFREI et plus le pourcentage est grand plus il s'agit d'une fissure.

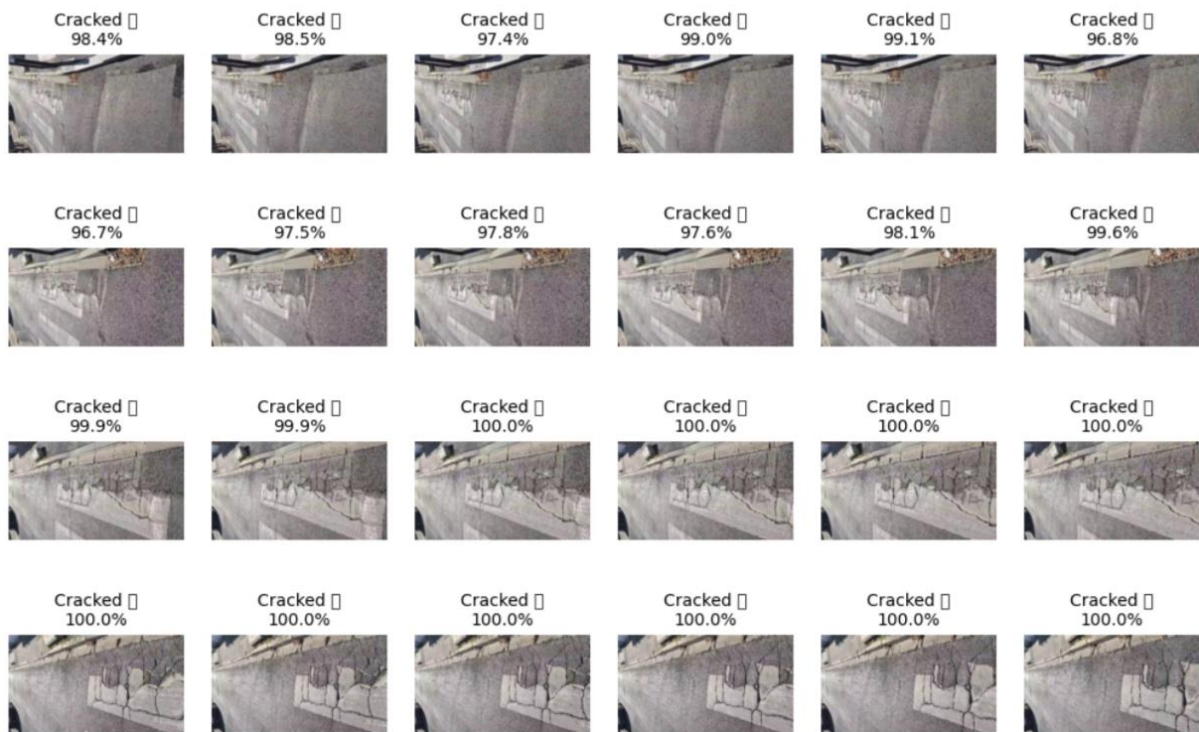
**Cracked**  **100.0%**



**Cracked**  **100.0%**



**Figure 7: Résultat fissure d'un passage piéton derrière EFREI**



## 10 Conclusions & Perspectives

Le projet SmartCraft Identification a permis de démontrer la faisabilité technique et opérationnelle d'un système embarqué capable de détecter automatiquement des microfissures sur les infrastructures routières, en temps réel et avec une forte précision. L'intégration d'un modèle d'intelligence artificielle léger (CNN sous TensorFlow) sur un Raspberry Pi, associée à un interface utilisateur conçue sous Node-RED, a permis de construire une solution complète, mobile, et économique en ressources.

Les résultats obtenus — avec un taux de précision de **92,3 %** et un temps moyen d'inférence de 420 ms par image — sont très prometteurs, dépassant les performances attendues à ce stade du prototype. Le système a été validé dans des conditions réalistes, sur maquettes et zones urbaines, avec une fiabilité satisfaisante.

Plusieurs axes d'amélioration ont été identifiés pour les versions futures :

- **Ajout d'un module GPS** pour la géolocalisation automatique des anomalies.
- **Amélioration du modèle IA** avec des jeux de données enrichis et une meilleure gestion des cas limites (ombres, textures complexes).
- **Intégration de capteurs complémentaires** (humidité, vibration) pour croiser les données et affiner la détection.
- **Mise en œuvre d'un système d'alerte intelligent** par email ou application mobile pour notifier les services techniques.
- **Extension du Node-RED Flow** pour la gestion multi-utilisateur, la sauvegarde des historiques, et l'intégration avec des bases de données ou systèmes SIG (systèmes d'information géographique).

En somme, SmartCraft Identification s'inscrit pleinement dans une **logique d'innovation durable** pour la maintenance intelligente des infrastructures, tout en restant accessible, open source et adaptable à d'autres contextes.

## 11 Bibliographies

- - LeCun Y., Bengio Y., Hinton G. Deep learning. Nature, 2015.
- - Krizhevsky A., Sutskever I., Hinton G. ImageNet classification with deep convolutional neural networks. NIPS, 2012.
- - Nvidia Jetson Nano Developer Kit documentation.
- - TensorFlow Lite guide.
- Images [Ensemble de données d'images d'asphalte fissuré et non fissuré - Mendeley Data](#)